

©1994

## РЕЗОНАНСНЫЕ ПОЛЯРОННЫЕ ИНФРАКРАСНЫЕ КОЛЕБАНИЯ В ПОЛУПРОВОДНИКАХ $Cd_xHg_{1-x}Te$

*А.И.Белогорхов, Л.И.Белогорхова*

Проведен анализ спектральных зависимостей положения края основного поглощения, фотопроводимости и оптических спектров сплавов  $Cd_xHg_{1-x}Te$  ( $x = 0.32 \div 0.42$ ) при температурах  $T = 5 \div 350$  К в области волновых чисел  $20 \div 5000 \text{ см}^{-1}$ . Исследован немонотонный характер поведения данных параметров с температурой. Проведена математическая обработка спектров отражения в области полосы «остаточных» лучей с помощью методов дисперсионного анализа и соотношений Крамерса-Кронига. Полученные результаты объясняются влиянием поляронных эффектов на процессы переноса заряда в материале. Высказывается предположение об изменении конфигурации поляронов при характеристических температурах 60, 160 и 225 К.

Особенствам фоточувствительности узкозонных полупроводниковых материалов в инфракрасной (ИК) области волновых чисел до недавнего времени уделялось недостаточное внимание. С одной стороны, это было связано с отсутствием высокочувствительной аппаратуры, работающей в этом спектральном интервале. С другой стороны, в области энергий, меньших ширины запрещенной зоны полупроводника  $E_g$ , не было основания ожидать проявлений каких-либо особенностей в явлениях фотопроводимости, поскольку эффективного заброса носителей заряда на уровень протекания не происходит, а проводимость типа прыжковой можно ожидать лишь в сильных электрических полях.

Теоретически было предсказано, что если ширина запрещенной зоны полупроводника по энергии близка к частоте продольного оптического фона, то возникает возможность стимуляции проводимости посредством взаимодействия смешанных плазменных колебаний и межзонной электронно-дырочной пары. Проявление подобного взаимодействия для полупроводника InSb было рассмотрено в [1,2], а для  $Hg_{1-x}Mn_xTe$  — в [3]. В [4,5] обсуждался вопрос о возможности стимуляции излучательных оптических процессов на частотах оптических фононов. Такие смешанные состояния получили название межзонных поляронов. Их влияние оказывается на уменьшении времени излучательной рекомбинации в кристалле.

За счет кооперативных фононных колебаний в кристалле увеличиваются высоты барьеров на потенциальной поверхности. При этом минимумам адиабатической потенциальной энергии соответствуют искаженные конфигурации всего кристалла, при которых электронное вырождение для каждого ян-теллеровского иона снимается. Такое энергетически выгодное упорядочение локальных искажений с ростом тем-

пературы может разрушаться тепловыми флюктуациями. Обычно локальная динамика кристаллических решеток с дефектами и вибронное взаимодействие в них рассматриваются независимо, тем не менее необходимо учитывать их сильное взаимное влияние. Изменение фоновой плотности, обусловленное изменением силовых постоянных, существенно влияет на силу вибронной связи. С другой стороны, имеет место обратное влияние вибронного взаимодействия на локальную динамику решетки.

В настоящей работе исследовались спектры фотопроводимости, оптического поглощения  $\alpha(\omega)$  и отражения  $R(\omega)$  в диапазоне волновых чисел  $\nu = 30 \div 5000 \text{ cm}^{-1}$ . Регистрация спектральных зависимостей оптических характеристик полупроводниковых кристаллов проводилась в температурном интервале  $T = 6 \div 400 \text{ K}$  с использованием проточного гелиевого криостата типа CF-1103 («Oxford Instruments») на Фурье-спектрометре IFS-113v («Bruker»). Для получения спектральных зависимостей фотопроводимости образцов в области энергий  $E \ll E_g$  использовалась модель PARK-113 в качестве усилителя сигнала. Функциональные зависимости  $\alpha(\omega)$ ,  $R(\omega)$  в диапазоне волновых чисел, соответствующих резонансным колебаниям на продольно-поперечных оптических фонах, рассчитывались по соотношениям Крамерса–Кронига.

В работе исследовались образцы  $\text{Cd}_x\text{Hg}_{1-x}\text{Te}$  различного состава ( $0.19 < x < 0.45$ ), выращенные методом зонной плавки, которые проявляли  $p$ -тип электропроводности, с концентрацией носителей заряда  $p \sim 10^{16} \text{ см}^{-3}$  и подвижностью  $\mu \sim 450 \text{ cm}^2 \cdot \text{V}^{-1} \cdot \text{s}^{-1}$  при температуре  $T = 295 \text{ K}$ . Перевод материала в  $n$ -тип электропроводности проводился с помощью отжига в насыщенных парах ртути. Поверхность образцов обрабатывалась в несколько этапов: механически, химическим травлением для удаления нарушенного слоя толщиной до  $60 \mu\text{m}$  с использованием травителя  $\text{Br}_2$  в метаноле. Химический состав материала контролировался методами рентгеновского микрозондового анализа. Градиент состава по толщине образца  $d = 1 \text{ mm}$  составлял не более  $\Delta x \lesssim +0.02$ . Микрорельеф и шероховатость поверхности кристаллов оценивались методами растровой электронной микроскопии и имели высоту, не превышающую  $1 \mu\text{m}$ .

На рис. 1 приведены экспериментальные спектры оптического пропускания и фоточувствительности одного из образцов при температуре, близкой к гелиевой, в полосе энергий  $E \ll E_g$ ; указаны частоты LO- и TO-фоновых мод  $\text{CdTe}$  и  $\text{HgTe}$ , а также положения оптических фонаров для данного состава, рассчитанные по модели однородных ячеек смешений. Проводилось сравнение теоретических фоновых частот с экспериментально оцененными по стандартной методике расчета положениями экстремумов зависимостей величин, обратных мнимой части диэлектрической проницаемости, рассчитанной по соотношениям Крамерса–Кронига. Данный подход позволил провести оценку величины коэффициента поглощения на частоте продольного оптического фона  $LO$ , которая оказалась равной  $\alpha(\text{HgTe}) \sim (6 \div 7) \cdot 10^4$  и  $\alpha(\text{CdTe}) \sim 3 \cdot 10^4 \text{ cm}^{-1}$ . Полученные значения на полтора порядка превосходят величину коэффициента поглощения в области волновых чисел  $10.6 \mu\text{m}$ , рассчитанного для случая прямых оптических переходов при параболическом законе дисперсии,  $\alpha(10.6 \mu\text{m}) \sim 700 \text{ cm}^{-1}$  для

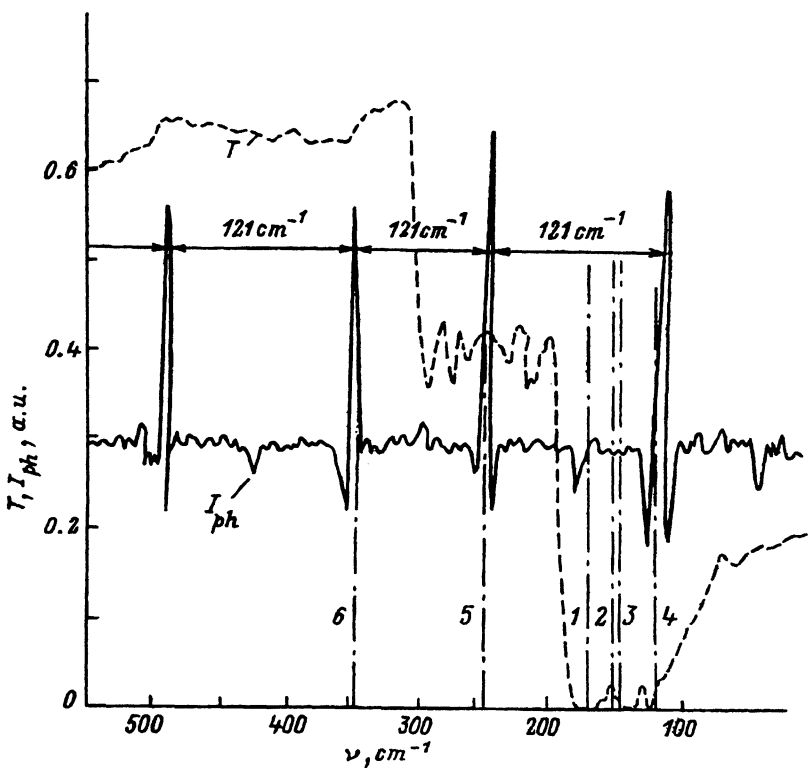


Рис. 1. Спектральные зависимости пропускания  $T$  и фоточувствительности  $I_{ph}$  образца  $\text{Cd}_{0.35}\text{Hg}_{0.65}\text{Te}$  в дальней ИК-области волновых чисел при температуре 5 К.

Цифрами у вертикальных прямых обозначены положения частот следующих продольно-поперечных фоновых колебаний: 1 —  $LO(\text{CdTe})$ , 2 —  $TO(\text{CdTe})$ , 3 —  $LO(\text{HgTe})$ , 4 —  $TO(\text{HgTe})$ , 5 —  $2TO(\text{HgTe})$ , 6 —  $3TO(\text{HgTe})$ .

$m_{HH}^* = 0.78m_0$ , где  $m_0$  — масса свободного электрона. Чтобы оценить дополнительный вклад в проводимость материала фотоиндцированных носителей, возбуждаемых фоновым термическим излучением, проводилась регистрация спектров отражения и пропускания образцов по схеме так называемых «отрицательных» потоков, что предполагает помещение образца на место источника излучения. Использование симметрии интерферометра Майкельсона и разности температур между образцом и приемником позволило нам провести регистрацию оптических спектров без стимуляции внутренних процессов в полупроводнике оптическими квантами. Одновременно в тех же экспериментальных условиях исследовались спектральные зависимости фотопроводимости материала в области края основного поглощения и при энергиях квантов, значительно меньших  $E_g$ .

Спектры фотопроводимости в дальней ИК-области регистрировались при облучении образца с помощью ртутной лампы. Для того чтобы понять, какое влияние оказывает засветка образца оптическими квантами с энергией  $E \sim E_g$ , проводилась фильтрация падающего на кристалл света с помощью черного полиэтилена и холодного сапфирового окна. На рис. 2 показаны спектры пропускания и фотопрово-

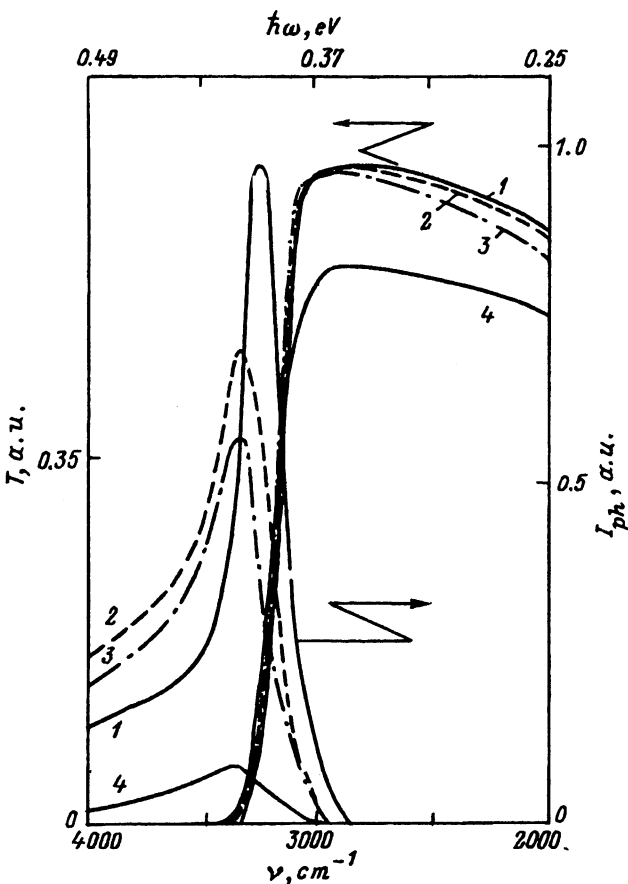


Рис. 2. Спектральные зависимости пропускания  $T$  и фотопроводимости  $I_{ph}$  образца  $\text{Cd}_{0.37}\text{Hg}_{0.63}\text{Te}$  от температуры в области междузонного поглощения.  
1 — 5, 2 — 100, 3 — 200, 4 — 300 К.

димости образца состава  $x = 0.370$  в области междузонного поглощения при разных температурах измерения. На этом рисунке наглядно демонстрируются экспериментальные возможности четкой регистрации положения и интенсивности сигналов как фотопроводимости, так и оптического поглощения в одних и тех же экспериментальных условиях.

На рис. 3 представлены температурные зависимости изменения положения частоты, отвечающей максимуму фоточувствительности образца  $\omega_{max}$ , и частоты  $\omega_0$ . Здесь же мы показали и изменение интенсивности фотопроводимости материала  $I_{ph}$  в том же температурном интервале. В данном случае  $\omega_0$  — частота, соответствующая коэффициенту поглощения  $\alpha = 500 \text{ cm}^{-1}$ . Как видно из этого рисунка, мы имеем немонотонное поведение указанных выше параметров от температуры, которое не предсказывается при использовании для их расчета функциональной зависимости  $E_g(x, T)$ , взятой из работы [6]. В нашем случае характерные особенности имеют место при  $T \sim 50, 160$  и  $\sim 225 \text{ K}$ . Необходимо отметить тот факт, что, когда край собствен-

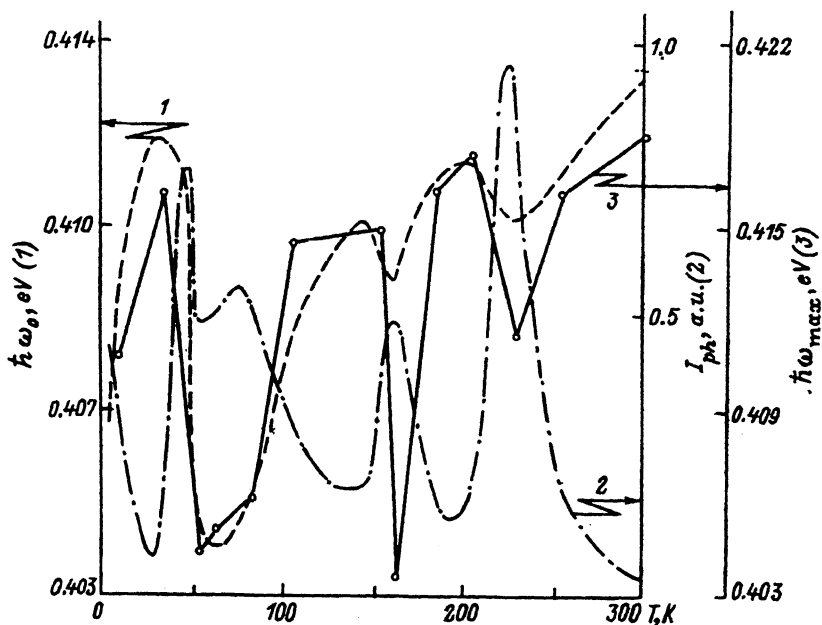


Рис. 3. Зависимости положения края основного поглощения  $\hbar\omega_0$  (1), сигнала фотопроводимости  $I_{ph}$  (2) и положения максимума фоточувствительности  $\hbar\omega_{max}$  (3) материала  $Cd_{0.37}Hg_{0.63}Te$  от температуры.

ного поглощения смещается в область меньших энергий, имеет место увеличение сигнала фотопроводимости. Исключение составляет  $T \sim 50$  К, где проявляется сильная дополнительная особенность в поведении  $I_{ph}(T)$ . Следует подчеркнуть, что подобные спектральные и температурные зависимости наблюдались на серии образцов  $Cd_xHg_{1-x}Te$  в диапазоне составов  $x = 0.350 \div 0.420$ . На наш взгляд, такое «тонкое» проявление поведения  $\hbar\omega_0(T)$ ,  $\hbar\omega_{max}(T)$ ,  $I_{ph}(T)$  связано с процессами изменения структуры поляронных комплексов с температурой. Это можно назвать поляронными переходами первого рода, когда имеет место перестройка структуры полярона на локальном уровне, не затрагивающая кристаллическую решетку.

Для того чтобы понять степень участия оптических фононов в обсуждаемых процессах, нами подробно исследовалась полоса «костаточных» лучей при  $T = 5 \div 350$  К. На рис. 4 приведены зависимости положения частоты продольного оптического фонона CdTe-моды  $\nu_{LO}^{CdTe}$  и силы осциллятора данного резонансного колебания, приведенного к единице  $\rho$ , от температуры. Для наглядности на этом же рисунке показана зависимость  $\omega_0(T)$  из рис. 3. Мы видим, что и здесь имеет место четкое характерное поведение  $\nu_{LO}^{CdTe}$ , аналогичное  $\hbar\omega_0(T)$ . Интересно, что, как и в случае  $I_{ph}(T)$ , функциональная зависимость  $\nu_{LO}^{CdTe}(T)$  имеет обратный по отношению к  $\hbar\omega_0(T)$  знак. Следует сказать, что подсистема продольно-поперечных фононов моды HgTe не проявляет подобных особенностей при  $T \sim 160$  и  $\sim 225$  К. Здесь следует уточнить, что под  $\nu_{LO}^{CdTe}$  подразумевается самое высокоэнергетичное нормальное колебание связей Cd-Te в базисных ячейках  $Cd(4-n)Hg(n)Te$ , где  $n = 0 \div 4$ .

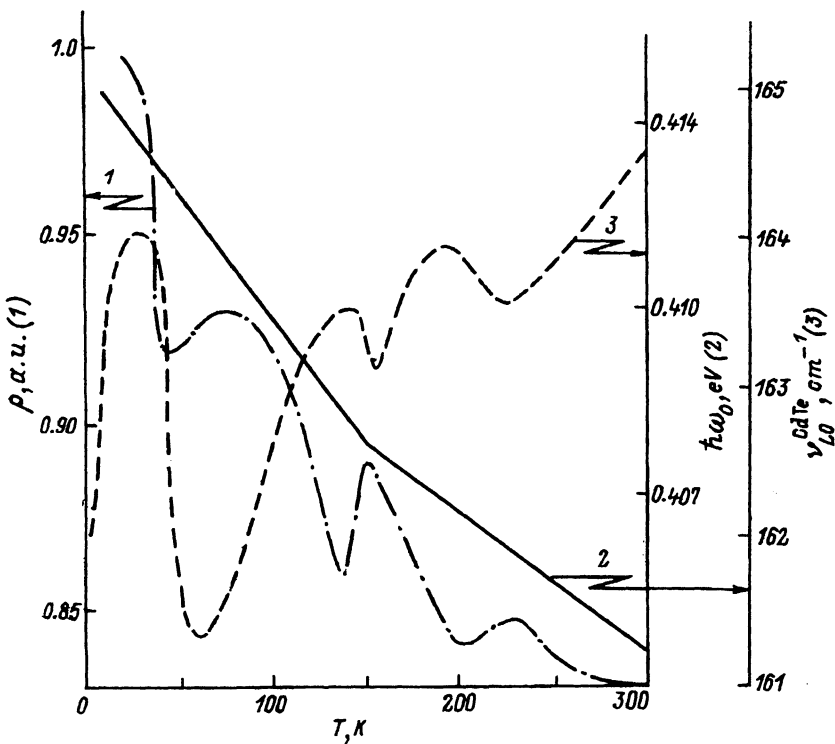


Рис. 4. Температурные зависимости силы осциллятора  $\rho$  (1) и частоты  $\nu_{LO}^{CdTe}$  (2)  $LO(CdTe)$  фона, а также края междузонного поглощения  $\hbar\omega_0$  (3).

Что касается перераспределения энергии колебаний кристалла между данными модами при изменении температуры, то этот вопрос является предметом отдельного рассмотрения. Таким образом, в нашем случае мы рассматриваем колебания Cd–Te связей в ячейке, имеющей конфигурацию Cd(1)Hg(3)Te [7]. Как видно из рис. 4, наблюдается линейная зависимость в поведении  $\nu_{LO}^{CdTe}(T)$ . Необходимо обратить внимание на изменение наклона в области температуры  $T \sim 160$  К. Следует добавить, что и для составов  $x = 0.22 \div 0.25$  мы наблюдали излом на зависимости  $\nu_{LO}^{CdTe}(T)$  при этой же температуре. Тем не менее характерная «тонкая» структура в данном случае не имеет места. Это подтверждает ранее сделанный вывод о локальной перестройке поляронных комплексов.

Можно сделать некоторые оценки концентрации точечных дефектов в образце, которые образуют сложные поляроны и участвуют в рассматриваемых здесь явлениях. Для этого необходимо оценить весовой вклад колебаний пар связей Cd–Te, участвующих в образовании поляронов, на фоне общего отклика нормальных колебаний CdTe-моды кристалла на внешнее электромагнитное излучение при интересующих нас температурах. Силы осцилляторов колебательных мод базисных ячеек отражают меру числа связей Cd–Te для данного состава материала и выбранной конфигурации самой базисной ячейки. В результате оказалось, что примерно одинаковое количество связей Cd–Te задействовано в структурной полярной перестройке при  $T = 50$ ,

160, 225 К и составляет около 1.5% от общего количества связей. Если далее предположить, что мы имеем дело с аналогом *F*-центра в щелочно-галоидных кристаллах, то можно оценить количество вакансий атомов кадмия в образце. Справедливости ради следует сказать, что сила осциллятора HgTe-моды не является константой при  $T = 5 \div 300$  К и нами были замечены особенности в области  $T \sim 50$  К. Скорее всего вклад от HgTe-моды вызывает появление той дополнительной особенности в поведении  $I_{ph}(T)$  при  $T = 50$  К, на существование которой указывалось выше.

Таким образом, мы делаем вывод о том, что вклад поляронных эффектов в температурные зависимости процессов переноса заряда в образце оказывается существенным. Далее, анализируя зависимости  $I_{ph}(T)$ , мы полагаем, что немонотонное поведение фотопроводимости образцов связано с существованием мелких уровней в  $E_g$ , которые образуют структурные дефекты в полярных комплексах. Точечные дефекты типа вакансий ртути проявляются при  $T \sim 50$  К, а типа вакансий кадмия — при  $T = 60, 160$  и  $\sim 225$  К. Остается открытым вопрос о влиянии межузельного теллура на полярные структурные переходы, так как известно [8], что два атома теллура, локализованных около его положения в кристаллической решетке, могут служить ловушкой для дырки. При захвате на эту ловушку дырки получается полярон — аналог *H*-центра. Следующим этапом в этом процессе при наличии внешнего электромагнитного излучения может быть образование биполяронных *F*- и *H*-комплексов вследствие кулоновского взаимодействия при  $T = 220 \div 250$  К. Эти комплексы, будучи нейтральными, не участвуют в процессе переноса заряда в образце, но тем не менее оказывают влияние на процессы рассеяния носителей заряда и фоточувствительность материала, связывая один из носителей.

#### Список литературы

- [1] Коровин Л.И., Павлов С.Т. // ЖЭТФ. 1986. Т. 26. С. 979–983.
- [2] McCombe B.D., Wagner R.J. // Proc. Int. Conf. on the Physics of Semiconductors / Ed. M.Miasek. Warsaw, Polish Scientific, 1972. P. 321.
- [3] Pfeffer P., Zawadzki W. // Phys. Rev. Lett. 1988. V. 61. P. 762.
- [4] Sohn R.B., Ram-Mohan L.R., Xie H., Wolff P.A. // Phys. Rev. B. 1990. V. 42. P. 3608–3612.
- [5] Xie H., Pam-Mohan L.R., Wolff P.A. // Phys. Rev. B. 1990. V. 42. P. 3620–3628.
- [6] Hansen G.L., Schmit J.L., Casselman T.N. // J. Appl. Phys. 1982. V. 53. N 5. P. 7099–7104.
- [7] Козырев С.П., Пырков В.Н., Водопьянов Л.К. // ФТТ. 1992. Т. 34. № 8. С. 2372–2381.
- [8] Leung C.H., Brunet G., Song K.S. // J. Phys. C. 1985. V. 18. P. 4459–4463.

НИИ «Гиредмет»  
Москва

Поступило в Редакцию  
19 июля 1993 г.